

[9] Матвеев Б.А., Петров В.И., Стусь Н.М.,  
Талапакин Г.Н., Шибалин А.В. - ФТП, 1987,  
т. 21, № 7, с. 1244-1247.

Физико-технический институт  
им. А.Ф. Иоффе АН СССР,  
Ленинград

Поступило в Редакцию  
4 июля 1988 г.

Письма в ЖТФ, том 14, вып. 17      12 сентября 1988 г.

НЕРАВНОВЕСНАЯ СМЕСЬ ГЕКСАГОНАЛЬНОГО  
И КУБИЧЕСКОГО  $Ge$ , ВЫЯВЛЯЮЩАЯСЯ  
ПРИ КРИСТАЛЛИЗАЦИИ  $\alpha$ - $Ge$ . БЛИЖНИЙ  
И ПРОМЕЖУТОЧНЫЙ ПОРЯДКИ В  $\alpha$ - $Ge$

В.Д. Окунев, З.А. Самойленко

Несмотря на значительные успехи в изучении аморфных  $Ge$  и  $Si$  ( $\alpha$ - $Ge$ ,  $Si$ ) [1, 2], в данной проблеме остается еще много неясного, связанного прямо или косвенно с сохраняющейся неопределенностью представлений о структуре данных материалов. При ее описании в рамках различных моделей для согласования экспериментальных и расчетных данных по дифракции приходится использовать элементы структуры, не свойственные кристаллу [1-3]. Последние могут быть в принципе выявлены на начальной стадии кристаллизации. Однако при кристаллизации  $\alpha$ - $Ge$ ,  $Si$  на дифракционной картине образцов обнаруживались только линии, свойственные нормальной кубической структуре. Вместе с тем, учитывая опыт многочисленных исследований, посвященных кристаллизации аморфных веществ различного состава, нельзя не обратить внимание на странный характер изменения дифракционной картины в процессе кристаллизации  $\alpha$ - $Ge$ ,  $Si$ . Кристаллизация  $\alpha$ - $Ge$ ,  $Si$ , структура которых характеризуется двумя диффузными максимумами (гало I и II), начинается с появления трех линий: (III) в центре гало I и (220), (311) на склонах гало II [3, 4]; в центре гало II линий нет. Странность изменения дифракционной картины заключается в том, что при последующем развитии кристаллизации, когда линии появляются по всей дифрактограмме, ни одна из них не попадает в центральную часть гало II. Отсюда следует описание об утере значительной информации о структурных превращениях в пленках, без учета которой построение адекватной модели структуры аморфных  $Ge$  и  $Si$  оказывается невозможным.

Цель настоящей работы заключалась в детальном исследовании кристаллизации  $\alpha$ - $Ge$ , связанном с поиском метастабильных

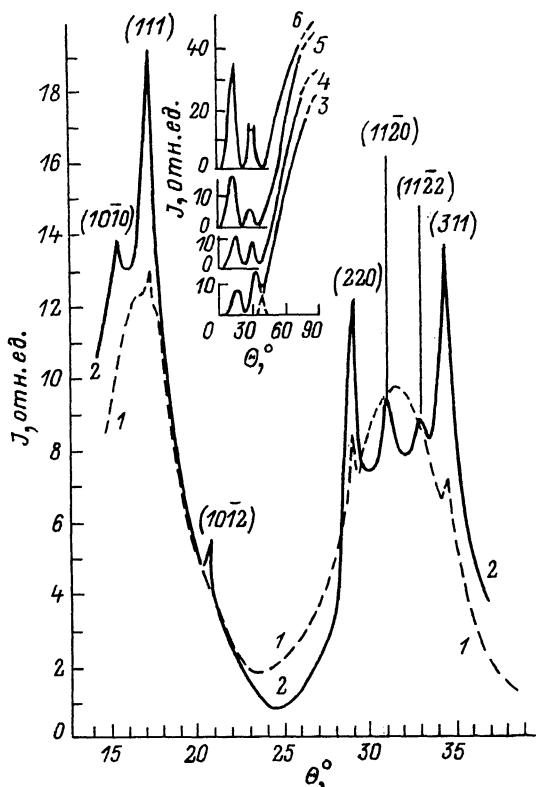


Рис. 1. Дифракционные картины  $\alpha$ -Ge в  $Fe$ -излучении в начале первой (1) и второй (2) стадий кристаллизации.

На вставке — полные дифракционные картины образцов. Температура отжига  $T_\alpha$ , К: 3 — 300, 4 — 471, 5 — 563, 6 — 725.

структурных состояний, не свойственных нормальной кристаллической решетке германия.

Пленки  $\alpha$ -Ge толщиной 20–30 мкм были получены методом катодного распыления в атмосфере аргона при осаждении распыляемого материала на стеклянные подложки при температуре около 300 К. Изохронный ( $t=1$  час) отжиг образцов проводился в вакууме  $10^{-6}$  торр.

На дебаеграммах аморфных пленок наблюдалась обычные для  $\alpha$ -Ge гало I и II и фон (вставка к рис. 1). Кристаллизация образцов, начинающаяся при  $T_\alpha=715$ –720 К, проходит в три стадии. Вначале, как всегда в центре гало I появляется слабо выраженный пик, развивающийся далее в дебаевскую линию III кубической решетки Ge (кривая 1 на рис. 1); на склонах гало II развиваются линии (220) и (311). Интенсивность гало II, окаймленного линиями (220), (311), делающими его визуально более контрастным на общем фоне дифракции, практически не

не меняется до конца первой стадии, заканчивающейся при  $T_a = 780-785$  К. Доля закристаллизованного объема в конце первой стадии составляет 35–40 %.

На второй стадии кристаллизации в промежутке между линиями (220) и (311) на фоне сохраняющейся интенсивности гало II возникают две слабые линии; еще две образуются по краям гало I (кривая 2 на рис. 1). Этим линиям соответствуют отражения от плоскостей межплоскостными расстояниями 3.55 и 2.72 Å (в гало I) и 1.9 и 1.8 Å (в гало II). Они не свойственны нормальной кубической структуре  $\text{Ge}$  и относятся к фазе с гексагональной решеткой  $\text{Ge}$  с параметрами  $a=3.98$  Å;  $c=9.8$  Å;  $c/a=2.47$ . Эти новые линии существуют в узком температурном интервале (10–15 градусов) второй стадии кристаллизации. Структура пленок, характеризующаяся наличием в аморфной матрице кристаллитов с двумя типами упаковки атомов, оказывается неустойчивой. Дальнейшее повышение температуры отжига вызывает полное исчезновение гало и линий гексагональной структуры; линии же, свойственные кубической структуре  $\text{Ge}$ , начинают появляться уже по всей дифрактограмме. Доля закристаллизованного объема к концу второй стадии достигает 55–60 %. Третья стадия кристаллизации, наблюдающаяся при  $T_a > 800$  К и сопровождающаяся дальнейшим снижением интенсивности фона, обусловлена увеличением размера кристаллитов.

Изменения электропроводности (6) пленок хорошо согласуются с изменениями их структуры. Изохронный отжиг выявляет на зависимости 6 от  $T_a$  три стадии кристаллизации (рис. 2): 715–785 К, 785–800 К, и  $T_a > 800$  К. Вторая стадия, связанная с формированием и последующим исчезновением кристаллитов гексагонального германия, как и показывают структурные данные, действительно наблюдается в очень узком температурном интервале. На третьей стадии увеличение размера кристаллитов слабо влияет на 6 закристаллизованных пленок.

Детальные исследования ранних стадий кристаллизации пленок указывают на явное наследование некоторых особенностей структуры  $\alpha\text{-Ge}$  при переходе аморфное состояние – кристалл, который является непрерывным, без каких-либо скачкообразных качественных изменений и растянут в достаточно широком температурном интервале. Исходя из изложенных результатов, мы вынуждены прийти к заключению о том, что в структуре аморфных пленок наряду со средой неупорядоченно расположенных атомов присутствуют и кластеры двух видов, имеющие тенденцию к кристаллоподобной упаковке атомов и определяющие два типа ближнего порядка в  $\alpha\text{-Ge}$ . В данном случае кластеры можно, по-видимому, рассматривать как флуктуации порядка в неупорядоченной среде с соответствующим плавным переходом от порядка в ядре кластеров к беспорядку в их периферийных областях. Согласно грубой оценке доля объема, занимаемого кластерами, в исходных аморфных пленках составляет 7–10 %,

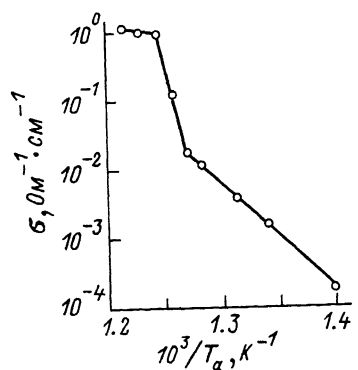


Рис. 2. Изменения  $\beta$  (измерения при  $T=293$  К) с температурой отжига при кристаллизации  $\alpha$ -Ge.

увеличиваясь к началу кристаллизации до 15–20 %. Первый тип кластеров представляет собой плоские (квазидвумерные) образования, формирующиеся преимущественно плоскостями (III). Кластеры второго вида являются элементарными структурными образованиями с гексагональной решеткой. Оба типа кластеров дают основной вклад в когерентное рассеяние рентгеновского излучения, формируя гало I и II, а неупорядоченная межкластерная среда играет главную роль в некогерентном рассеянии, образуя фон, интенсивность которого увеличивается с ростом угла дифракции  $\theta$  (вставка к рис. 1).

Кластеры определяют также масштаб промежуточного порядка [5], выражаясь в наличии в  $\alpha$ -Ge многоатомных корреляций на расстояниях, существенно превышающих расстояние между атомами. Размеры упорядоченных областей в  $\alpha$ -Ge могут достигать 150–200 Å [6].

При отжиге аморфных пленок к началу их кристаллизации кластеры, увеличиваясь до критических размеров, превращаются в устойчивые зародыши кристаллизации. Первый тип кластеров преобразуется в кристаллиты стабильной кубической структуры. Кластеры второго типа превращаются в кристаллиты метастабильной гексагональной модификации германия, существующей в узком интервале температур отжига, после чего быстро трансформируются в кристаллиты с нормальной кубической структурой.

Таким образом,  $\alpha$ -Ge представляет собой смесь структурных элементов, соответствующих кристаллитной теории (кластеры двух видов, различающиеся структурой, электронными и оптическими свойствами) и модели неупорядоченной случайной сетки (неупорядоченная межкластерная среда).

#### Л и т е р а т у р а

- [1] М о т т Н., Д э в и с Э. Электронные процессы в не-кристаллических веществах. М.: Мир, 1982. 662 с.
- [2] Аморфные полупроводники / Под ред. М. Бродски. М.: Мир, 1982. 420 с.
- [3] З а х а р о в В.П., Г е р а с и м е н к о В.С. Структурные особенности полупроводников в аморфном состоянии. Киев: Наукова думка, 1976, 280 с.

- [4] Temkin R.J., Paul W., Coonell G.A.N.-  
Adv. in Phys., 1973, v. 22, N 5, p. 581-641.
- [5] Бонч-Бруевич В.Л. - ЖСХ, 1983, т. 24, в. 4,  
с. 115-118.
- [6] Находкин Н.Г., Бардамида А.Ф., Ново-  
сельская А.И., Якимов К.И. - ФТТ, 1987,  
т. 29, в. 3, с. 715-720.

Поступило в Редакцию

В окончательной ре-  
дакции 10 мая 1988 г.

Письма в ЖТФ, том 14, вып. 17

12 сентября 1988 г.

## ЭФФЕКТ УПРУГОСТИ СЛОЯ НЕСЖИМАЕМОЙ ЖИДКОСТИ

В.А. Б а б е ш к о

В работе [1] отмечено, что явление локализации вибрационного процесса, протекающего в полуограниченных областях, может иметь место не только в упругих средах. Ниже, по-видимому, впервые на примере плоской задачи показано, что слой идеальной несжимаемой жидкости толщины  $h+r$ , на глубине которого вертикально (с частотой  $\omega$ ) колеблется жесткая, горизонтально расположенная пластина массы  $m$  и ширины  $2b$ , при некоторых значениях ширины создает реакцию на пластину с импедансом, имеющим только реактивную составляющую [2].

Таким образом, в этом случае система „слой жидкости – пластина” ведет себя подобно системе „масса – упругая пружина”, поэтому при некотором значении массы пластины возможен неограниченный резонанс [1].

Аналогичная задача рассматривалась в [3] в осесимметричной постановке. В ней для конкретных значений параметров найдены комплексные амплитуды давлений на пластину, из чего следует, что импеданс – комплексный.

1. Описанную выше задачу для тяжелой идеальной несжимаемой жидкости в линейной постановке в случае потенциального движения [4] сведем, как это сделано в [3], к интегральному уравнению следующего вида:

$$\int_{-a}^a k(x-\xi)q(\xi)d\xi = s \cos \gamma x - \zeta^{-2}, \quad |x| \leq a,$$

$$k(x) = \frac{1}{2\pi} \int_{-\infty}^{\infty} K(\alpha) e^{-i\alpha x} d\alpha,$$
(1)